









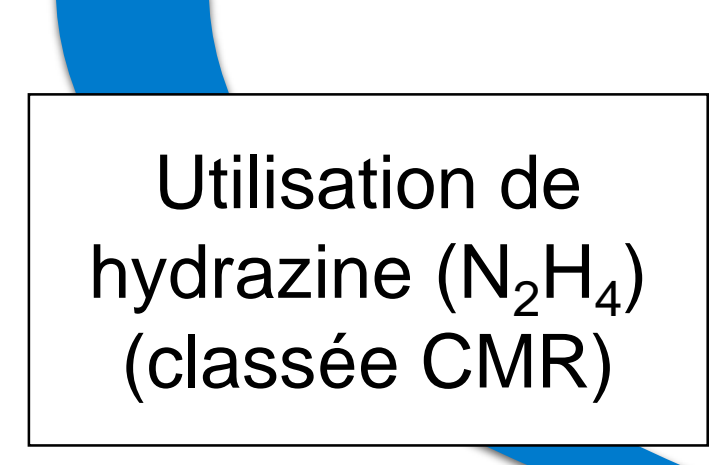
Céramique

# Conception et caractérisation de matériaux ultra haute température à gradient de propriétés

L. Audouard (lisa.audouard@onera.fr) A. Julian-Jankowiak (ONERA), J.F. Justin (ONERA), P. Bertrand (ICB), C. Langlade (ICB), M. Garcia (CNES)

### **Application:**

Moteurs de repositionnement des satellites (propulsion chimique)







Composé menacé d'utilisation par la réglementation REACH Développement d'un

ergol alternatif "vert"

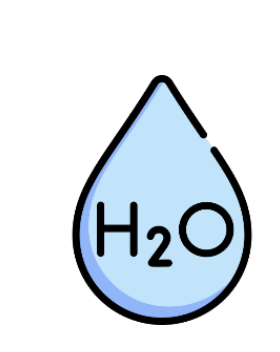
(CNES)

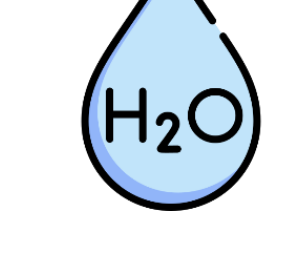
Environnement d'utilisation plus sévère (T°, oxydation, pression)

## **Solution étudiée :** Matériaux à Gradient de Propriétés (MGP)

Développement nouveaux matériaux







2700 °C oxydation

Gradient céramique, métal

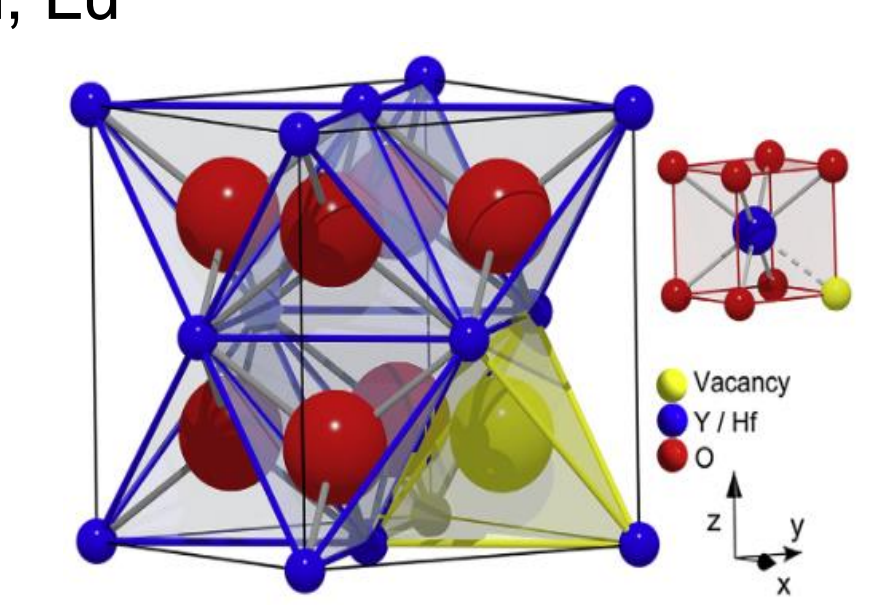
Objectif: optimiser un MGP ultra haute température, résistant à l'oxydation et à des sollicitations thermomécaniques sévères

## Optimisation de la barrière thermique et environnementale en céramique (HfO<sub>2</sub>)

#### Matériau étudié:

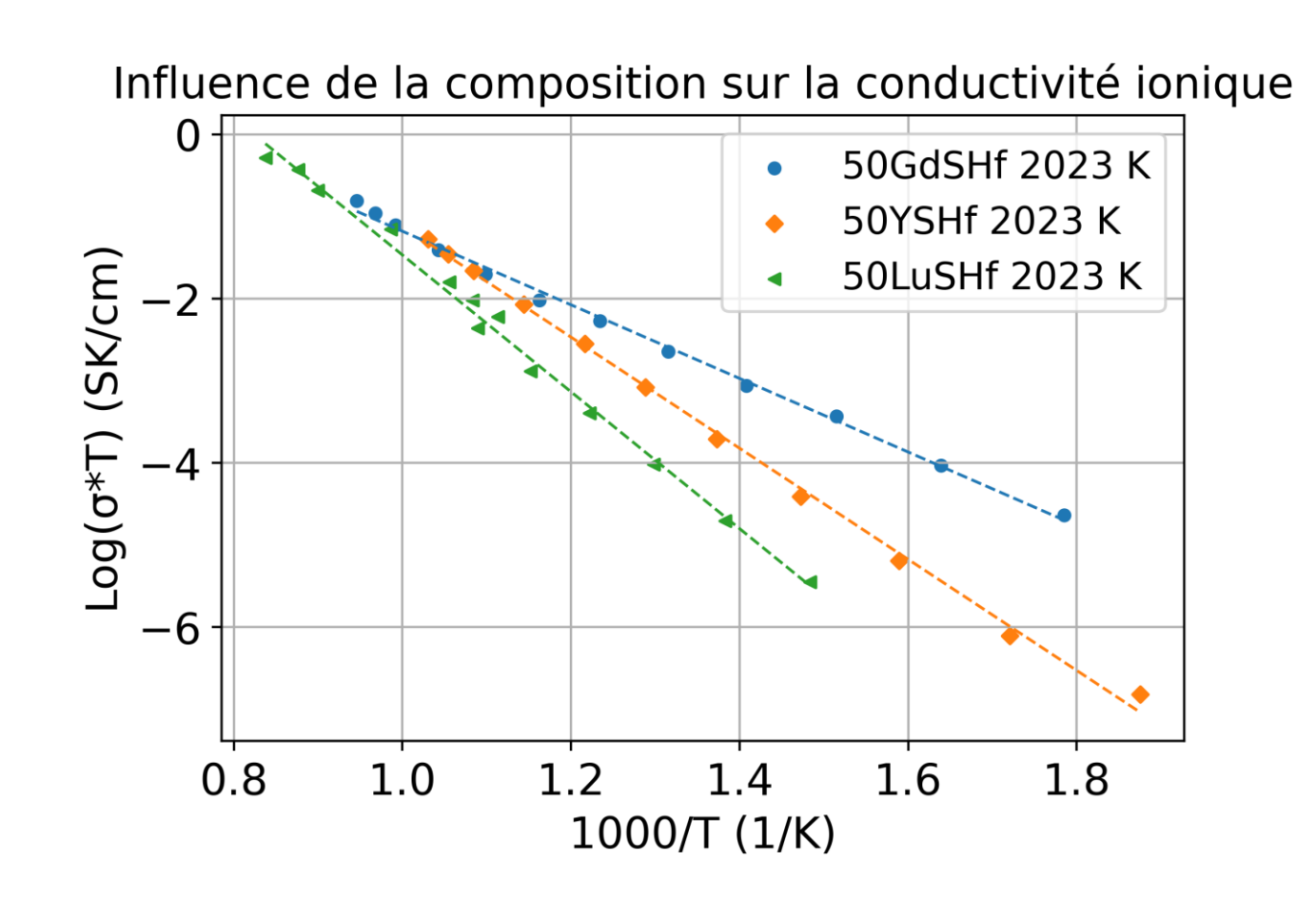
Composition :  $TR_2Hf_2O_7$  avec TR (Terre Rare) = Y, Gd, Lu → phase cubique, stable en température (2810 °C)

$$Y_2O_3 \xrightarrow{HfO_2} 2Y'_{Hf} + V_0 + 3O_0^{x}$$



## Etude de la nature et du taux de TR :

→ la distorsion de la maille Modifie les propriétés thermophysiques et chimiques

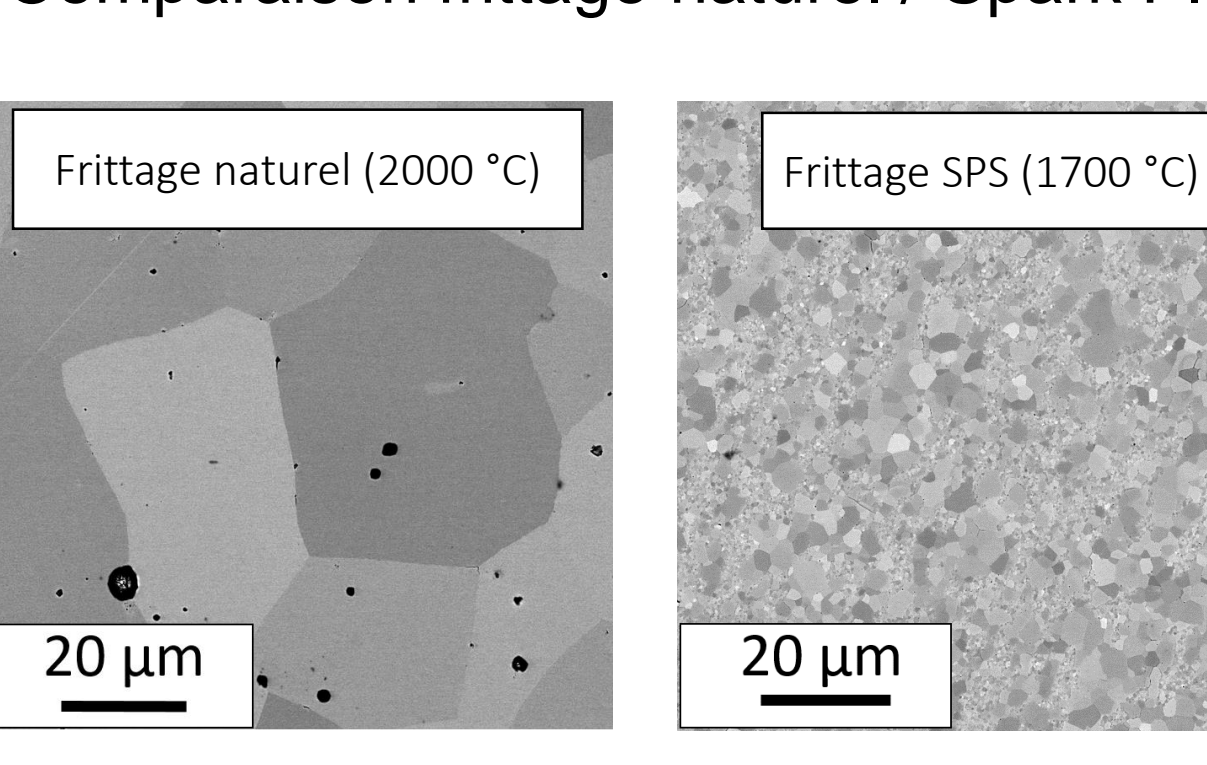


Compositions avec Lu<sub>2</sub>O<sub>3</sub> + forts taux d'oxyde de TR (50 % mol.) :

- Favorables à une > de la conductivité ionique
- Meilleure protection contre l'oxydation du métal sous-jacent

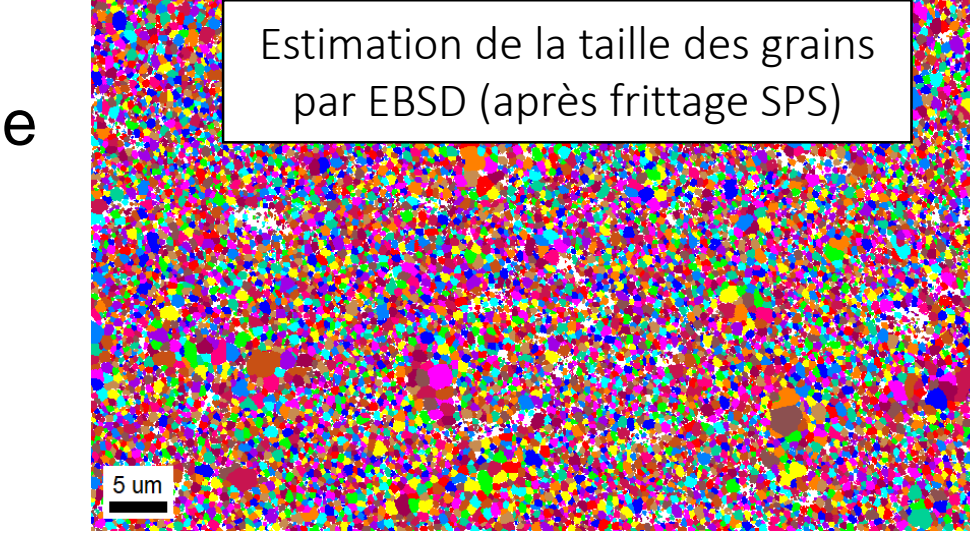
### Etude de l'influence du procédé d'élaboration sur la microstructure et la chimie :

Comparaison frittage naturel / Spark Plasma Sintering (SPS)



## Par SPS:

- Microstructure fine et dense
- Hétérogène chimiquement
- Taille de grains bimodale

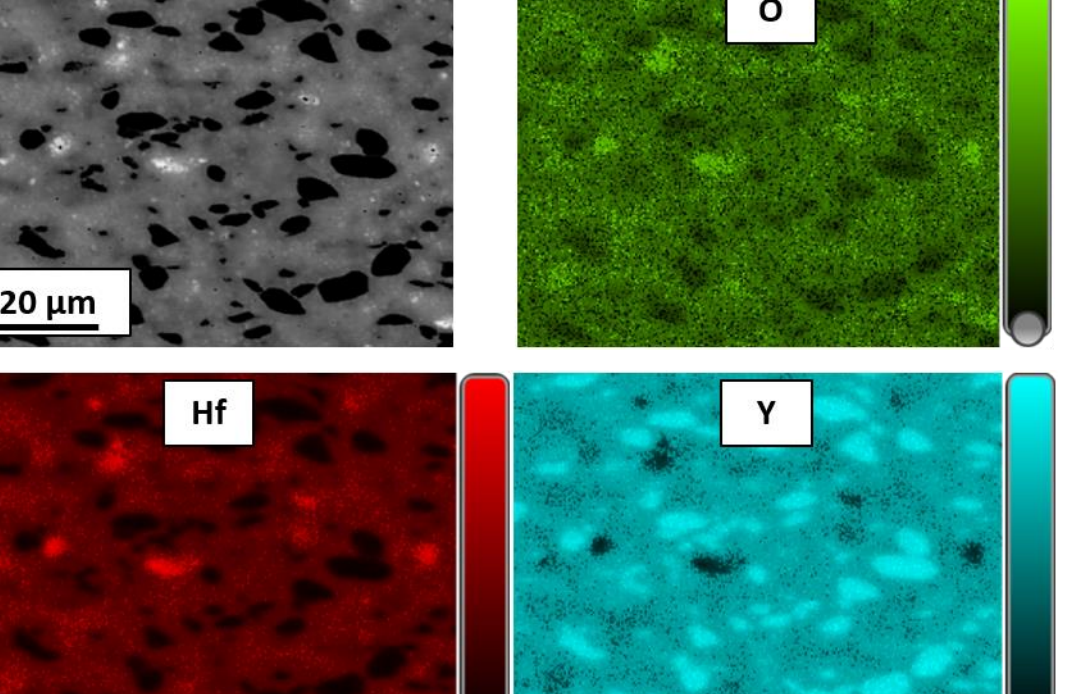


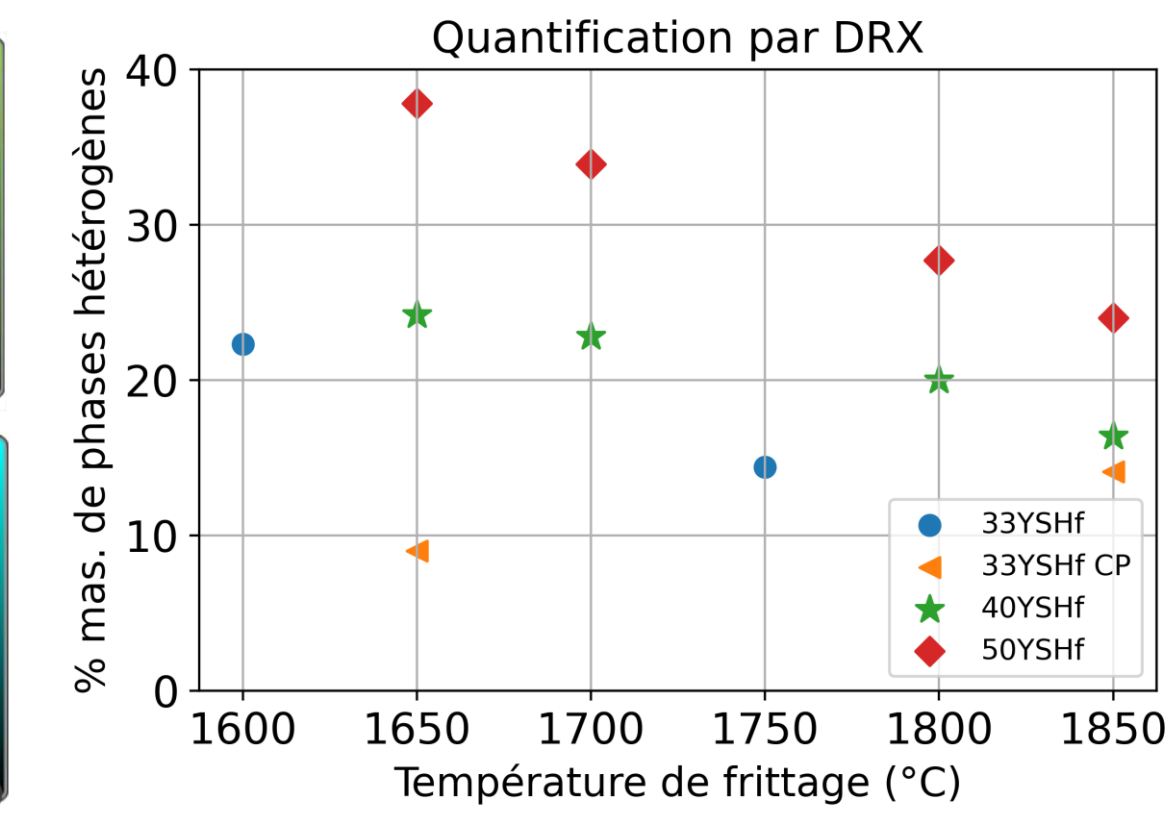
## Par frittage naturel:

- Microstructure homogène
- Taille de grains plus grossière (~ 40 µm)

## → Hétérogénéités chimiques :

- avec TR = Y
- avec les + forts taux de TR (50 % mol.)
- avec le procédé SPS



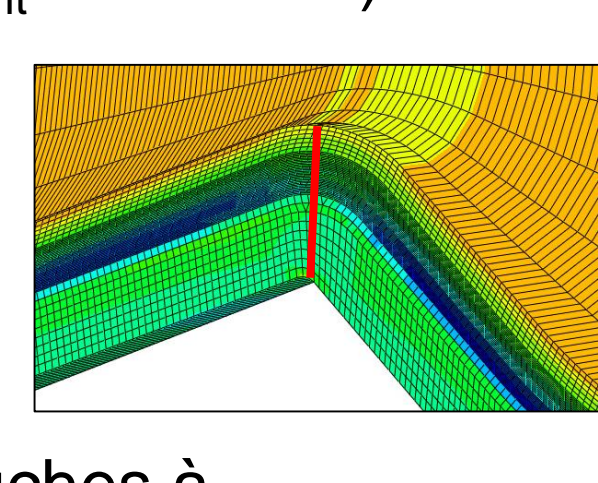


## Optimisation du système à gradient complet (métal / céramique)

## 1. Choix d'une conception de gradient par modélisation thermomécanique

## Description du modèle :

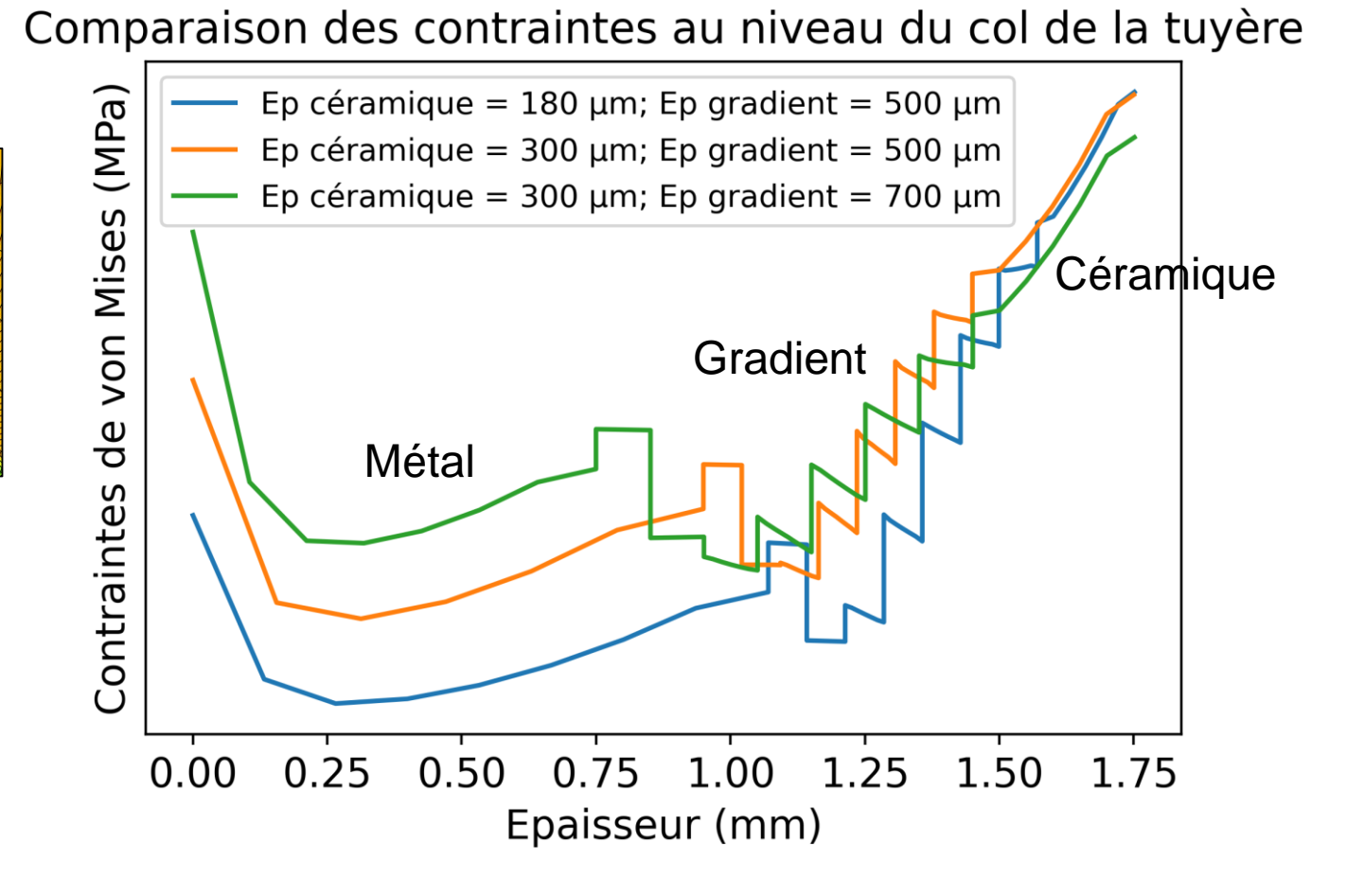
- Interactions: flux radiatifs sur toutes les surfaces ( $T_{ext} = -270 \, ^{\circ}\text{C}$ ,  $T_{int} = 2000 \, ^{\circ}\text{C}$ )
- Chargement : flux thermique 0,5 MW/m<sup>2</sup> sur la surface intérieure



 Maillage + fin dans les couches à gradient

## Résultat :

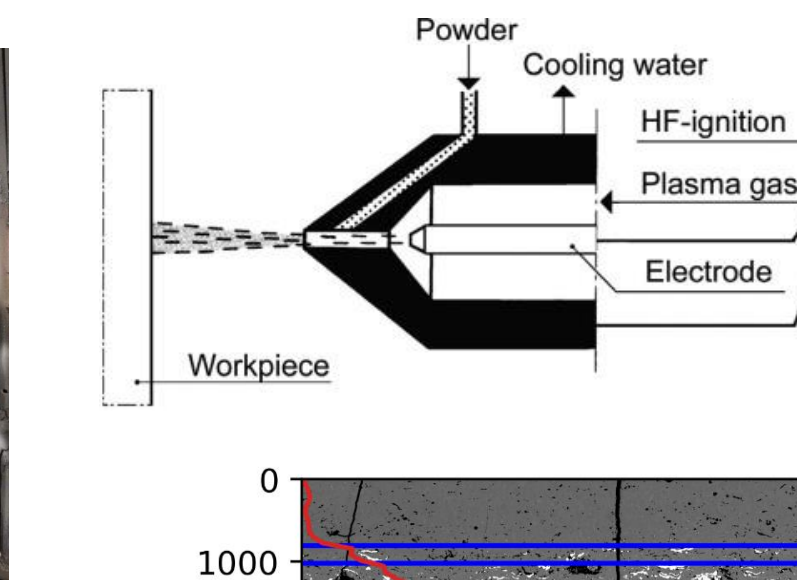
→ de l'ép. céramique et de l'ép. gradient 

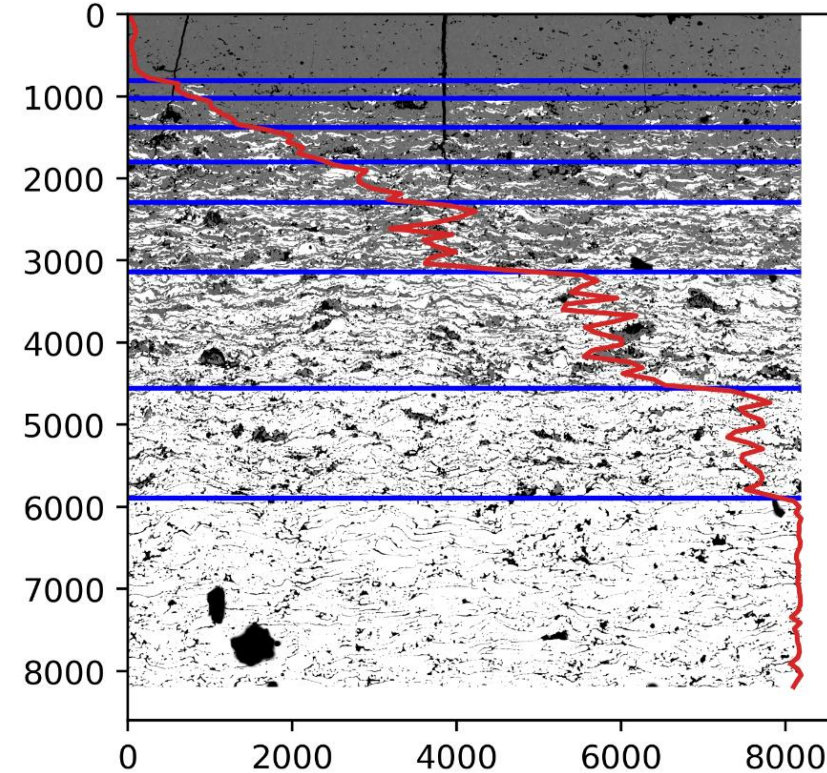


## 2. Elaboration des MGP sélectionnés par projection thermique sous air

## La projection thermique:

- Technique industrialisable
- Gradients fins (~ 40-80 µm par couche)
- Rapide, faible coût
- Forme complexe possible





## Traitement thermique post-élaboration :

- Densification du matériau
- Elimination des oxydes métalliques inter lamellaires
- Création d'un réseau de fissures dans la couche céramique (lié aux ≠ de coefficients de dilatation métal/céramique)

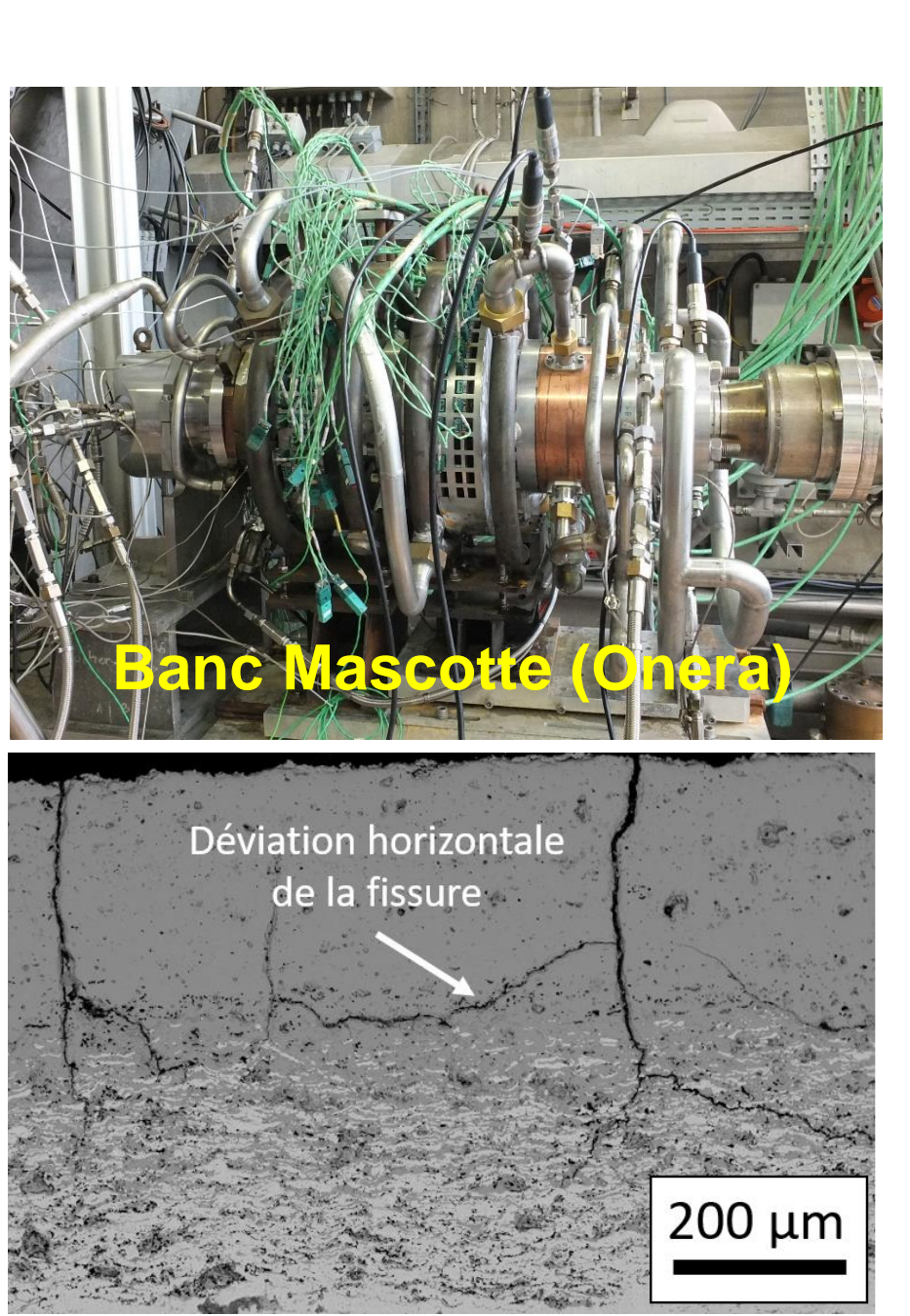
## 3. Validation en ambiances sévères sur le système complet

## Essais représentatifs en chambre de combustion :

- Flamme de combustion H<sub>2</sub>/O<sub>2</sub>
- → présence d'espèces oxydantes
- Essais jusqu'à T<sub>flamme</sub> = 3000 °C pendant 10 x 150 sec
- 4 configurations de gradient testées (16 échantillons)

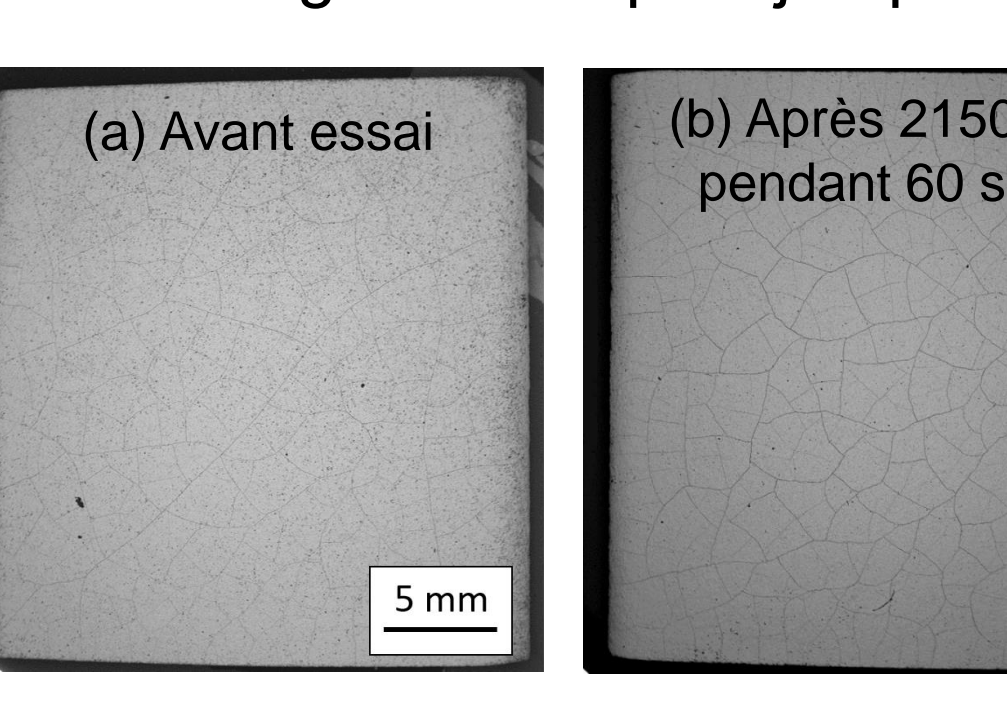
## Résultats :

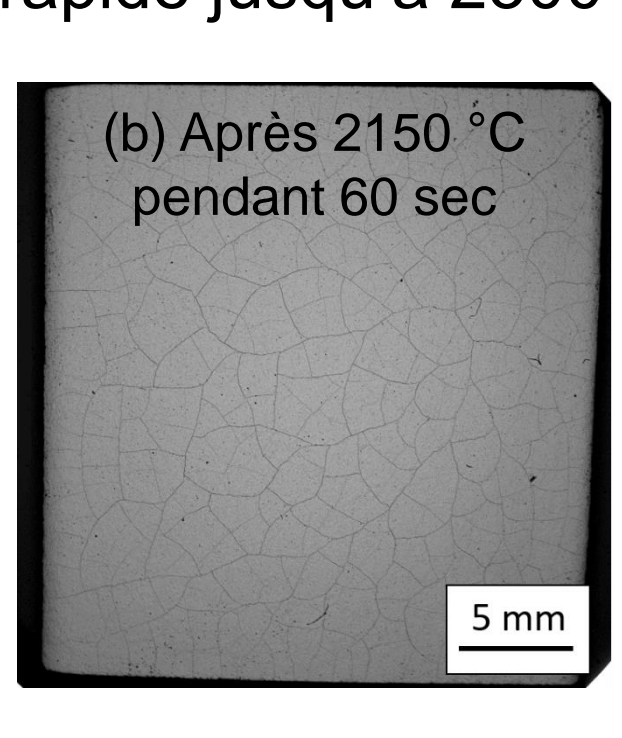
- Pas de délaminage de la céramique
- Efficacité de la barrière environnementale en céramique ⇒ pas d'oxydation du métal sousjacent
- Déviation horizontale de fissures pré existantes
- Evolution de la porosité sous-jacente au gradient (taille et forme)

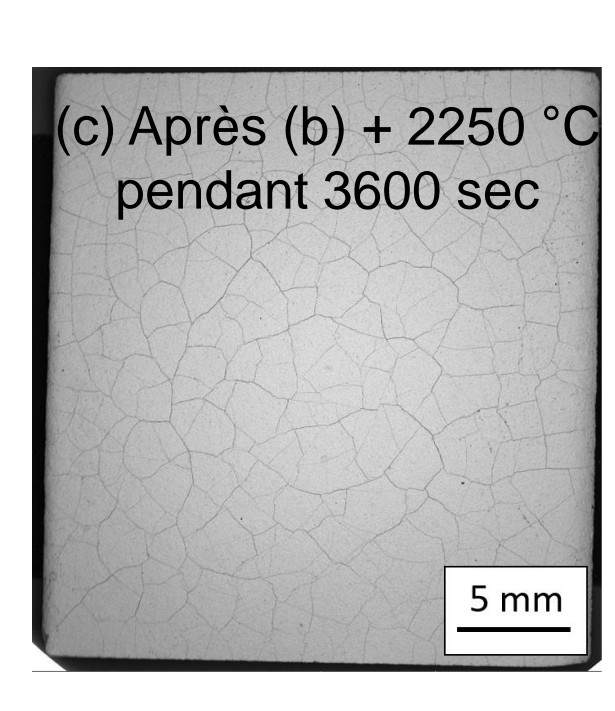


## Essais thermomécaniques sur banc laser CO<sub>2</sub>:

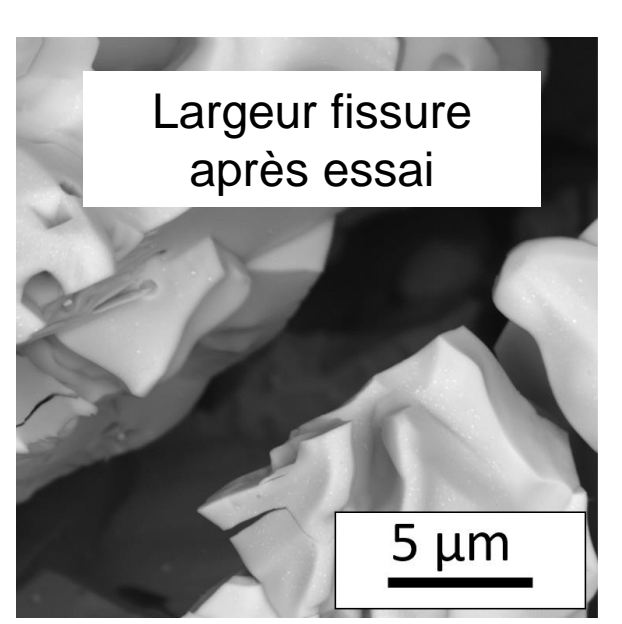
- Essais sous vide (5.10<sup>-2</sup> mbar)
- Chauffage laser rapide jusqu'à 2300 °C à la surface de l'échantillon







- Formation d'un nouveau réseau de fissures à la surface de l'échantillon
- Disparition du réseau de fissures initial
- Ouverture des fissures (+ larges)



## Effets des paramètres d'essai :

- Température : création d'un nouveau réseau de fissures et ouverture des fissures + importante après essai
- Temps de maintien : ouverture des fissures uniquement
- Nombre de cycles : ouverture des fissures uniquement